

ارزیابی توان حرکتی گسل مشا (در باخت فیروزکوه تا شهرستانک)

ساره بحیرایی^{۱*}، مهران آرین^۲، منوچهر قرشی^۳ و علی سلکی^۴

^۱ دانشجوی دکترا، گروه زمین‌شناسی، دانشگاه آزاد اسلامی، واحد علوم و تحقیقات، تهران، ایران

^۲ دانشیار، گروه زمین‌شناسی، دانشگاه آزاد اسلامی، واحد علوم و تحقیقات، تهران، ایران

^۳ دانشیار، دانشگاه آزاد اسلامی، واحد تهران شمال، پژوهشکده علوم زمین، سازمان زمین‌شناسی و اکتشافات معدنی کشور، تهران، ایران

^۴ استادیار، گروه زمین‌شناسی، دانشگاه آزاد اسلامی، واحد علوم و تحقیقات، تهران، ایران

تاریخ پذیرش: ۱۳۹۱/۰۵/۱۷

تاریخ دریافت: ۱۳۹۱/۰۵/۲۴

چکیده

گسل مشا مهم‌ترین ساختار گسلی در جنوب البرز مرکزی است. با توجه به فعل بودن این گسل و تأیید شواهد ریخت‌شناسی و زمین‌لرزه‌های بزرگ تاریخی رخ داده بر اثر فعالیت آن و همچنین نزدیکی به کلان شهر تهران، مطالعه آن اهمیت بالای دارد. بنابراین به عنوان یک متغیر، ارزیابی توان لرزه‌ای گسل مشا ما را در مطالعه لرزه‌زایی منطقه کمک می‌کند. در این نوشتار از الگوی Lee et al. (1997) برای ارزیابی توان حرکتی گسل مشا استفاده شده است. این الگوی نظری مبتنی بر روابط میان ویژگی‌های هندسی گسل‌ها و میدان تنش زمین‌ساختی ناحیه‌ای است. برای استفاده از معادلات این الگوی، داده‌های ساختاری با هدف دست‌یابی به موقعیت محورهای اصلی تنش در زمان اعمال تنش در گستره وسیعی از گسل مشا گردآوری شد که شامل ۱۳ ایستگاه هستند. سپس با استفاده از روش وارون‌سازی، تنش اصلی بیشینه گسل مشا و هر مقطع به طور جداگانه بدست آمد و در معادلات جاگذاری شد.

کلیدواژه‌ها: گسل مشا، توان حرکتی، میدان تنش زمین‌ساختی ناحیه‌ای.

*نویسنده مسئول: ساره بحیرایی

E-mail: sara_bahirae@yahoo.com

۱- پیش‌گفتار

گسل مشا محاسبه شد. در آخر نیز زاویه میان بردار عادی صفحه نسبت به تنش اصلی بیشینه اندازه‌گیری و در معادلات شماره ۳ جاگذاری می‌شود و مقدار پتانسیل حرکتی گسل به دست می‌آید.

۲- گسل مشا

گسل مشا، گسلی با درازای حدود ۲۰۰ کیلومتر، با روند حدودی N110 و سازوکار فشاری با مؤلفه راستالغز چپ گرد است. در راستای این گسل بناهای، جوان و دراز، گستره بلند البرز (از سوی شمال) به روی چین‌های کاری البرز (در جنوب) رانده شده است. شب گسل مشا همواره به سوی شمال و شمال خاوری میل داشته و میان ۳۵ تا ۷۰ درجه در نوسان است. فرادیواره گسل مشا را سنگ‌هایی با گستره سنی متفاوت پرتوزوزوییک پسین تا ترکیبی تشکیل می‌دهند. سنگ‌های فردیواره گسل افزون بر این شامل سنگ‌های نوژن و کواترنری نیز می‌شود و در کل به نظر می‌رسد، چه از دیدگاه بر جستگی و چه از دیدگاه چینه‌نگاشتی فرادیواره گسل مشا نسبت به فردیواره آن دچار بالا‌مدگری قابل ملاحظه‌ای شده باشد. به سوی باخت، جایه‌جایی چینه‌نگاشتی گسل مشا کم می‌شود. در محل روستای افجه، سنگ‌های سازند کرج در راستای گسل مشا روی نهشته‌های سرخ نوژن رانده شده‌اند.

۳- مدل تئوری برای تحلیل توان حرکتی گسل

توان حرکتی گسل (FMP) ارتباط نزدیکی با تنش زمین‌ساختی (G) و هندسه صفحه گسل (P) و ویژگی‌های فیزیکی متوسط درون آن و روی هر دو بخش گسل (P) دارد. توان حرکتی گسل تابعی از این فاکتورهاست (Lee et al., 1997)

$$FMP = f(\sigma, G, P) \quad (1)$$

اگر چه یک ساختار زمین‌شناسی به طور کلی ناهمگن و بسیار پیچیده است، ولی به منظور انجام محاسبات به صورت آماری می‌تواند همگن در نظر گرفته شود. بنابراین توان حرکتی گسل به صورت زیر ساده می‌شود:

$$FMP = f(\sigma, G) \quad (2)$$

در نهایت بر پایه کارهای انجام شده توسط Lee et al. (1997) و

گستره مورد مطالعه در دامنه‌های جنوبی رشته کوه البرز مرکزی در بین عرض‌های ۳۵° تا ۳۶° شمالی و طول ۲۰° تا ۵۱° خاوری واقع شده و بخشی از لبه جنوبی البرز مرکزی است. این محدوده از روستای امین‌آباد در باخت فیروزکوه تا روستای شهربستانک واقع در جاده کرج- چالوس را در بر می‌گیرد (شکل ۱). از دیدگاه سنگ‌شناسی محدوده مورد مطالعه بیشتر شامل توفهای سبز کرج به سن ائوسن است که از رسوبات آذرآواری زیردریایی و جریان‌های آتش‌شانی تشکیل شده است که در برخی مناطق بر اثر فعالیت گسل مشا به زیر سازندهای قدیمی تر از خود رفته‌اند.

لرزه‌خیزی ارتباط مستقیمی با گسل‌های فعل کواترنری دارد. به عنوان یک متغیر ارزیابی توان حرکتی گسل به کمی کردن خطر زمین‌لرزه در امتداد گسل‌های فعل می‌پردازد. از این رو، از آن برای ارزیابی خطر زمین‌لرزه در امتداد گسل مشا استفاده می‌شود. در این مقاله سعی شده است تا به سوال اصلی پاسخ داده شود:

(۱) سطح فعالیت گسل مشا چه مقدار است؟

(۲) آیا گسل مشا می‌تواند باعث ایجاد یک زمین‌لرزه ویرانگر شود؟

مطلوبات پیشین در مورد این موضوع بر پایه تحلیل‌های زمین‌ساخت لرزه‌ای بربریان و همکاران (۱۳۷۵) و Arian & Qorashi (2006) است. در این نوشتار از روش Lee et al. (1997) برای ارزیابی فعالیت گسل مشا با توجه به روابط مکانیکی بین هندسه گسل و میدان تنش زمین‌ساختی استفاده شده است.

۴- روش مطالعه

به منظور ارزیابی و تحلیل توان حرکتی گسل، سطوح برشی دارای خطواره‌های لغزشی (شکل ۲) و صفحات گسلی مرتبط به آنها اندازه‌گیری شده و نتایج حاصل با توجه به برخی پیدا شده‌های زمین‌شناسی دیگر مانند صفحات تزريق، استیلویلت‌ها و پله‌های تجمعی کانی‌ها کنترل شدند و در پایان تغییرات سوی تنش در واحدهای سنگی محاسبه شد.

برای این منظور از روش وارون‌سازی (Inversion Method) برای تعیین سوی محورهای اصلی تنش استفاده و در همه مقاطع، تنش‌های اصلی توسط نرم‌افزار

حل شد که نتایج آن در جدول ۳ به نمایش درآمده است. پس از انجام محاسبات، نتایج حاصل از روش (Lee et al. 1997) یعنی حل معادله بر پایه تنش ناحیه‌ای با نتایج حاصل از حل معادله بر پایه تنش محلی با یکدیگر مقایسه شدند.

۷- نتیجه‌گیری

محاسبه پتانسیل حرکتی گسل با استفاده از تنش‌های محلی مناسب‌تر است زیرا انطباق بیشتر و قابل توجهی را با پراکنش داده‌های لرزه‌ای (شکل ۲) نشان می‌دهد. بر پایه محاسبه پتانسیل حرکتی گسل، پایانه باختり گسل مشا، فعلی‌تر از پایانه خاوری آن است.

قطعه آردینه دارای بیشترین پتانسیل حرکتی در مقایسه با دیگر قطعات گسلی راستالغز است.

بخش باختري گسل مشا (از قطعه افجه به سوی باختر) دارای نرخ لرزه‌خیزی کمتری نسبت به بخش خاوری آن است که این موضوع با تغییر سازوکار چیره آنها از اردون به راستالغز چپ‌بر و بنابراین کاهش دوره بازگشت لرزه‌ای در پی تغییر سازوکار، کاملاً سازگار است.

نرخ لرزه‌خیزی به طور تدریجی به سوی پایانه باختري گسل مشا افزایش می‌یابد که این وضعیت با نرخ فزاینده پتانسیل‌های حرکتی محاسبه شده از امامه تا شهرستانک همخوانی آشکاری دارد.

نرخ لرزه‌خیزی به طور تدریجی به سوی پایانه خاوری گسل مشا کاهش می‌یابد که این وضعیت با نرخ کاهنده پتانسیل‌های حرکتی محاسبه شده از آردینه تا دلیچای همخوانی دارد.

نیمه باختري بخش خاوری گسل مشا در مقایسه با نیمه خاوری آن دارای خوبی همخوانی دارد. این وضعیت می‌تواند با تغییر سازوکار چیره آنها از اردون (در دلیچای و امین‌آباد) به راستالغز چپ‌بر (در آردینه) توجیه شود.

مکان پایان تظاهرات لرزه‌ای نیمه باختري بخش خاوری گسل مشا، به طرز چشمگیری بافت حداکثری پتانسیل حرکتی گسل در حدود است برگ جهان-افجه منطبق است.

Lokajicek et al. (1988) توان حرکتی گسل برای کمی کردن ارتباط میان پتانسیل حرکتی گسل به عنوان یک فاکتور متعادل شده توسط معادلات زیر تعریف می‌شود:

$$FMP = \begin{cases} 0 & \theta \in (0^\circ, 30^\circ) \\ 1 + \frac{\theta - 60^\circ}{30^\circ} & \theta \in (30^\circ, 60^\circ) \\ 1 - \frac{\theta - 60^\circ}{30^\circ} & \theta \in (60^\circ, 90^\circ) \end{cases} \quad (3)$$

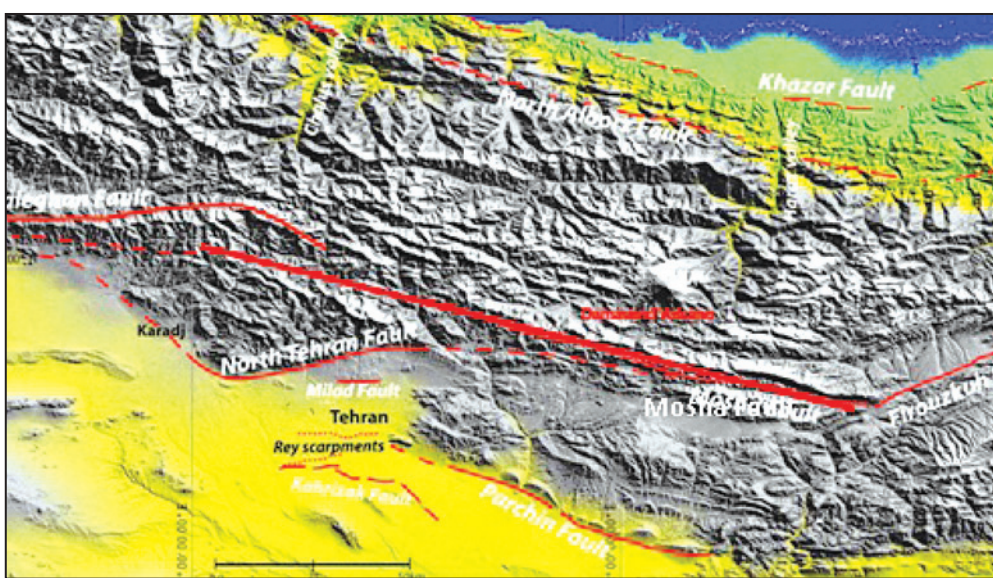
θ زاویه بین سوی بیشینه تنش اصلی فشاری (σ₁) و روند طبیعی صفحه گسل است.

۸- جهت‌های تنش زمین‌ساختی ناحیه‌ای

به منظور بررسی دینامیک گسل‌ها و تعیین تنش آنها، ۴ ماه پژوهش‌های میدانی در سرتاسر منطقه مورد پژوهش انجام و ۱۳ مقطع با حدود ۴۵۰ خش لغز برداشت شد. برای تحلیل میدان تنش زمین‌ساختی وضعیت سطح گسل‌ها، خش لغز موجود روی آنها و سوی برش بلوک‌های دو سوی گسل برای توصیف ساختاری و تعیین راستای جابه‌جایی گسل‌های موجود صورت گرفت. برای تعیین سوی برش گسل‌ها از روش (Angelier 1994) استفاده شد. پس از انجام تصحیحات اولیه، پردازش داده‌ها برای محاسبه بیشینه تنش زمین‌ساختی توسط نرم‌افزارهای مربوط صورت گرفت. در آخر جهت‌های تنش زمین‌ساختی محلی برای هر بخش گسل مشا به طور جداگانه محاسبه و پس از آن طبق روش (Lee et al. 1997) θ زاویه محاسبه شد.

۹- پتانسیل حرکتی گسل مشا و تحلیل نتایج حاصل

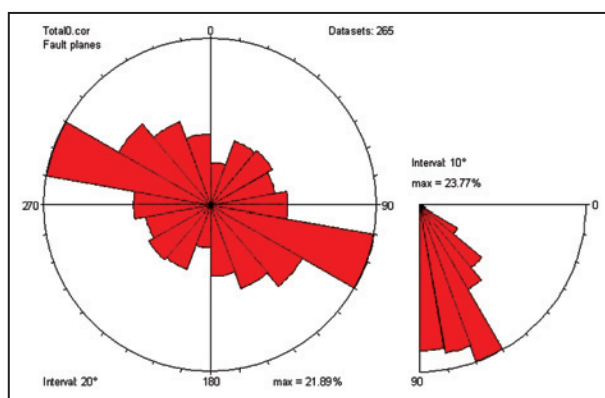
پتانسیل حرکتی گسل مشا در لبه جنوبی البرز مرکزی از باختر فیروزکوه تا شهرستانک در ۱۳ مقطع با تنش محلی به دست آمده در همان مقطع به طور جداگانه بررسی و توسط معادله شماره ۳ محاسبه شد (جدول ۱). یک بار نیز طبق روش (Lee et al. 1997) با تنش ناحیه‌ای در سراسر طول گسل این محاسبه روی مقاطع برداشت شده انجام شد (جدول ۲) و در آخر نیز روند تقریبی گسل مشا از روی نمودار گل‌سرخی به دست آمده (شکل ۳) با تنش ناحیه‌ای نیز توسط معادله شماره ۳



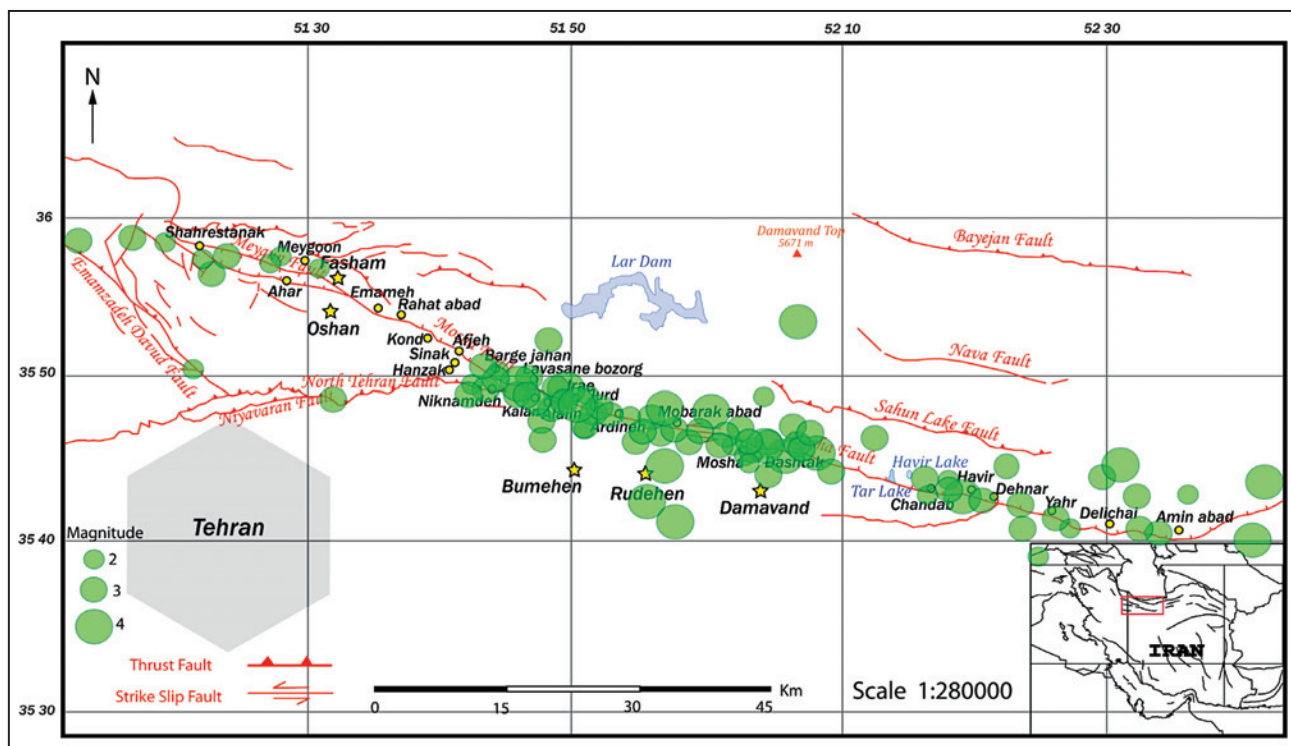
شکل ۱- نقشه زمین‌ساختی گسل مشا.



شکل ۲- نمونه‌ای از سطوح گسلی و خش لغزه‌ای مربوط به آن در منطقه مورد مطالعه.



شکل ۳- نمودار گل سرخی روند تقریبی گسل مشا.



شکل ۴- پراکنش داده‌های لرزه‌ای مربوط به سال‌های ۲۰۰۶ تا ۲۰۱۲ (برگرفته از مؤسسه ژئوفیزیک دانشگاه تهران).

جدول ۱- محاسبات توان حرکتی گسل مشا با استفاده از تنش های محلی:

| نام مقاطع | نش اصلی (σ_1) | صفحه گسل | θ | توان حرکتی گسل |
|-----------|------------------------|----------|----|----------------|
| دلیجان | ۲۴۲/۵۸ | ۷۵/۰۹۰ | ۴۸ | ۰/۶ |
| هیر | ۰۵۸/۰۷ | ۶۵/۱۰۵ | ۵۳ | ۰/۷ |
| آردینه | ۲۲۳/۷۵ | ۷۵/۱۱۰ | ۶۱ | ۰/۹ |
| علایین | ۱۰۹/۰۶ | ۷۰/۱۱۰ | ۸۸ | .۱ |
| کلان | ۲۹۵/۰۰ | ۸۰/۱۵۰ | ۵۴ | ۰/۸ |
| برگ-جهان | ۲۱۷/۱۵ | ۵۰/۱۵۰ | ۳۴ | ۰/۱ |
| افجه | ۰۲۶/۰۹ | ۷۰/۱۱۰ | ۳۰ | . |
| کند | ۰۴۷/۱۷ | ۶۰/۱۲۵ | ۴۹ | ۰/۶ |
| راحت آباد | ۰۲۵/۲۰ | ۵۰/۱۶۰ | ۷۳ | ۰/۶ |
| اماوه | ۲۱۸/۳۱ | ۶۵/۰۵۰ | ۸۶ | ۰/۱ |
| میگون | ۳۵۱/۰۰ | ۸۰/۰۹۰ | ۸۱ | ۰/۳ |
| آهار | ۲۸۶/۰۰ | ۷۵/۱۳۰ | ۶۵ | ۰/۸ |
| شهرستانک | ۲۷۱/۲۹ | ۷۰/۰۴۰ | ۶۲ | ۰/۹ |

جدول ۲- محاسبات توان حرکتی گسل مشا با استفاده از تنش ناحیه‌ای:

| نام مقاطع | نش اصلی (σ_1) | صفحه گسل | θ | توان حرکتی گسل |
|-----------|------------------------|----------|----|----------------|
| دلیجان | ۲۳۷/۱۹ | ۷۵/۰۹۰ | ۶۲ | ۰/۹ |
| هیر | ۲۳۷/۱۹ | ۶۵/۱۰۵ | ۳۹ | ۰/۳ |
| آردینه | ۲۳۷/۱۹ | ۷۵/۱۱۰ | ۳۵ | ۰/۱ |
| علایین | ۲۳۷/۱۹ | ۷۰/۱۱۰ | ۳۴ | ۰/۱ |
| کلان | ۲۳۷/۱۹ | ۸۰/۱۵۰ | ۸ | . |
| برگ-جهان | ۲۳۷/۱۹ | ۵۰/۱۵۰ | ۲۶ | . |
| افجه | ۲۳۷/۱۹ | ۷۰/۱۱۰ | ۳۴ | ۰/۱ |
| کند | ۲۳۷/۱۹ | ۶۰/۱۲۵ | ۲۴ | . |
| راحت آباد | ۲۳۷/۱۹ | ۵۰/۱۶۰ | ۲۸ | . |
| اماوه | ۲۳۷/۱۹ | ۶۵/۰۵۰ | ۷۹ | ۰/۳ |
| میگون | ۲۳۷/۱۹ | ۸۰/۰۹۰ | ۵۵ | ۰/۸ |
| آهار | ۲۳۷/۱۹ | ۷۵/۱۳۰ | ۱۵ | . |
| شهرستانک | ۲۳۷/۱۹ | ۷۰/۰۴۰ | ۸۹ | ۰/۱ |

جدول ۳- محاسبه کلی توان حرکتی گسل مشا.

| نام گسل | نش اصلی (σ_1) | صفحه گسل | θ | توان حرکتی گسل |
|---------|------------------------|----------|----|----------------|
| گسل مشا | ۲۳۷/۱۹ | ۶۵/۱۱۰ | ۳۶ | ۰/۶ |

کتابنگاری

بربریان، م، قرشی، م، ارزنگ روش، ا، و مهاجر اشجاعی، ا، ۱۳۷۵- پژوهش و بررسی ژرف نوزمین ساخت و خطر زمین لرزه- گسلشن در گستره تهران، سازمان زمین شناسی کشور- گزارش شماره ۶۳

References

- Angelier, J., 1994- Fault slip analysis and paleostress reconstruction in Hancock, Continental deformation, Pergamon press, Oxford, pp: 53-100.
- Arian, M. & Qorashi, M., 2006- The Movement Potential Evaluation of the Major Quaternary Faults in Alborz-Central Iran Border Zone, from the East of Tehran to the East of Semnan, GSI, Geosciences Vol. 15, No. 59. pp: 184- 187.
- Lee, C. F., Hou, J. J. & Ye, H., 1997- The movement potential of the major faults in Hong Kong area, Episodes, Vol. 20, No. 4. pp:227-231
- Lokajicek, T., Spicak, A. & Wanek, L., 1988- Tectonic stress orientation and the Seismic regime of a single fault: Tectono physics. 152. pp: 297-302.

The Movement Potential Evaluation of the Mosha Fault (from the West of Firoozkuh to the Shahrestanak)

S. Bahirae^{1*}, M. Arian², M. Ghorashi³ & A. Solgi⁴

¹ Ph.D. Student, Department of Geology, Islamic Azad University, Science and Research Branch, Tehran, Iran

² Associate Professor, Department of Geology, Islamic Azad University, Science and Research Branch, Tehran, Iran

³ Associate Professor, Islamic Azad University, North Tehran Branch, Research Institute for Earth Sciences (RIES), Geological Survey of Iran, Tehran, Iran

⁴ Assistant Professor, Department of Geology, Islamic Azad University, Science and Research Branch, Tehran, Iran

Received: 2012 August 07 Accepted: 2013 January 13

Abstract

The Mosha fault is the most important fault structures in the south of Central Alborz. According to the activity of this fault, confirmation of the morphological evidences, and large historical earthquakes occurred by its activity, also proximity to Tehran metropolitan, the study of this area is very important. Therefore, as a parameter, evaluation of the fault movement potential helps us in seismological study of the area. In this paper, we have used the model presented by Lee et al. (1997) to evaluate movement potential. The model is based on the relationship between fault geometrical characteristics and regional tectonic stress field. To use the equations of this model, structural data of 13 stations along the Mosha fault were collected to identify the position of the principal axes of stress. Then, we obtained the direction of maximum principal stress of the Mosha fault and also for each section separately by using Inversion method and they were placed in equations.

Keywords: Mosha fault, Movement potential, Regional tectonic stress field.

For Persian Version see pages 123 to 126

*Corresponding author: S. Bahirae, E-mail: sara_bahirae@yahoo.com